



S.I.E.T.O.
Società Italiana di Ergoftalmologia e
Traumatologia Oculare

30°
CONGRESSO
NAZIONALE

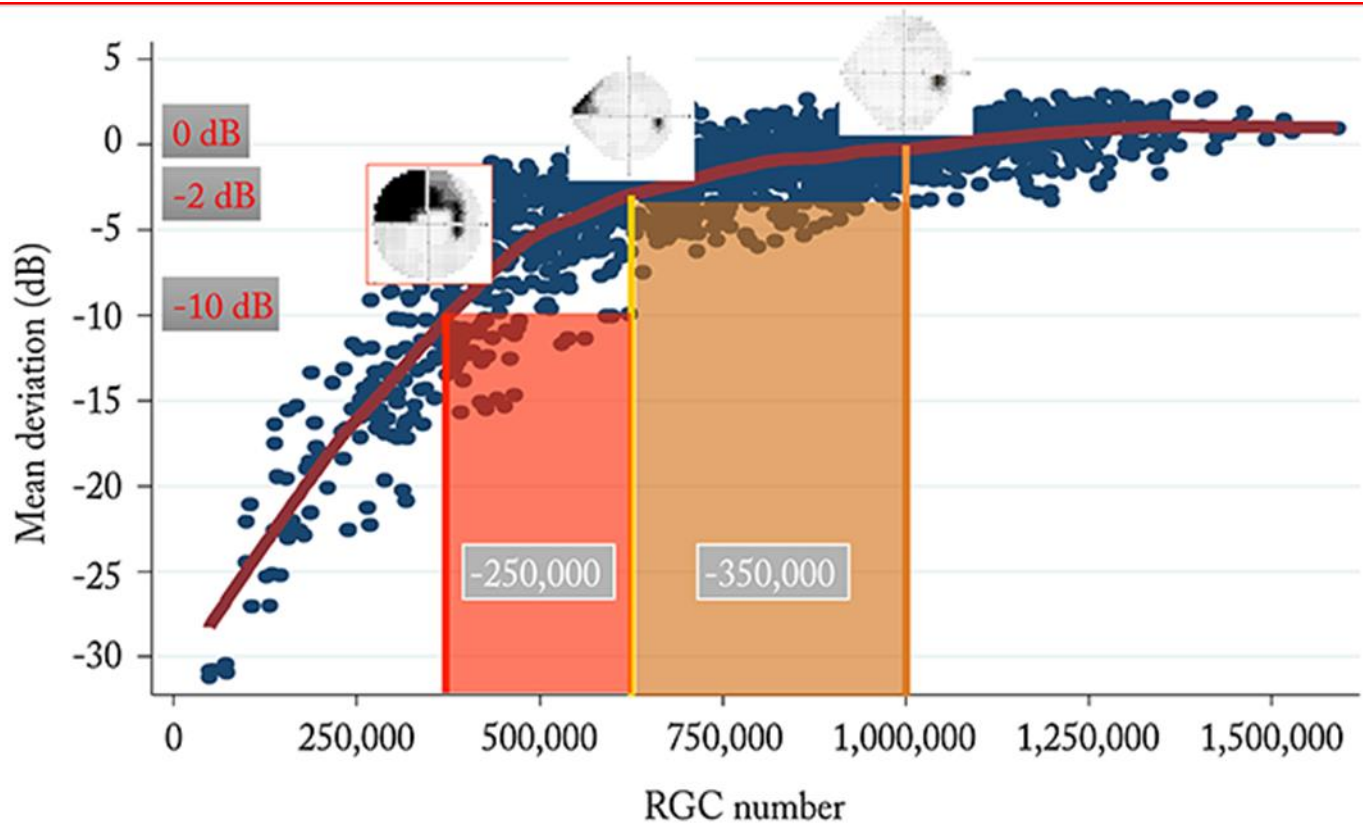
Glaucoma e Angio OCT



Disclosure

Consulting Free

- *Carl Zeiss Meditec*
- *Alpha Intes*
- *Mesofarma*



**3 Zone of interest
for Glaucoma**

Angio-OCT

**Peri-Optic Disc
Blood Flow**

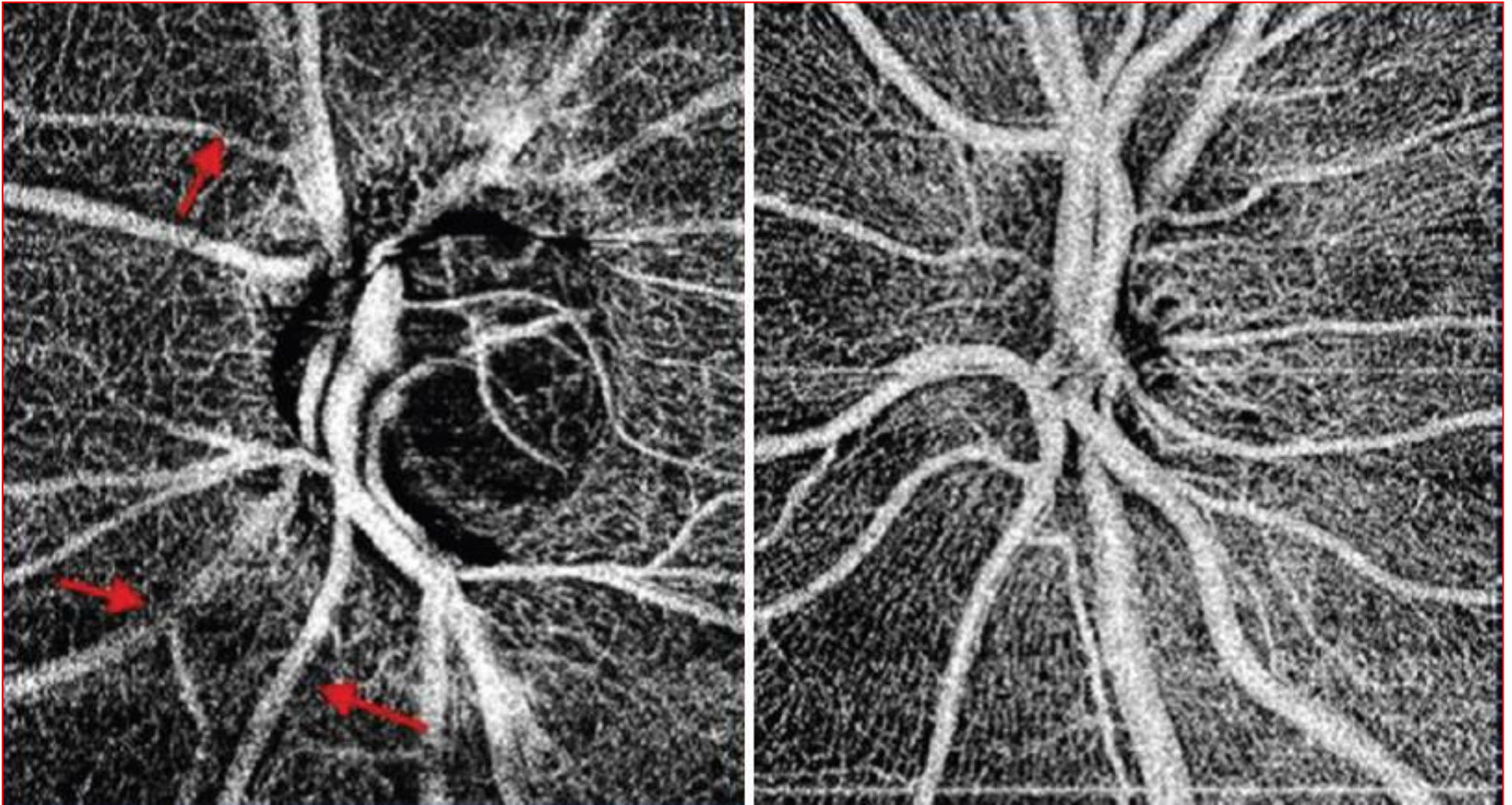
**Optic Disc Blood
Flow**

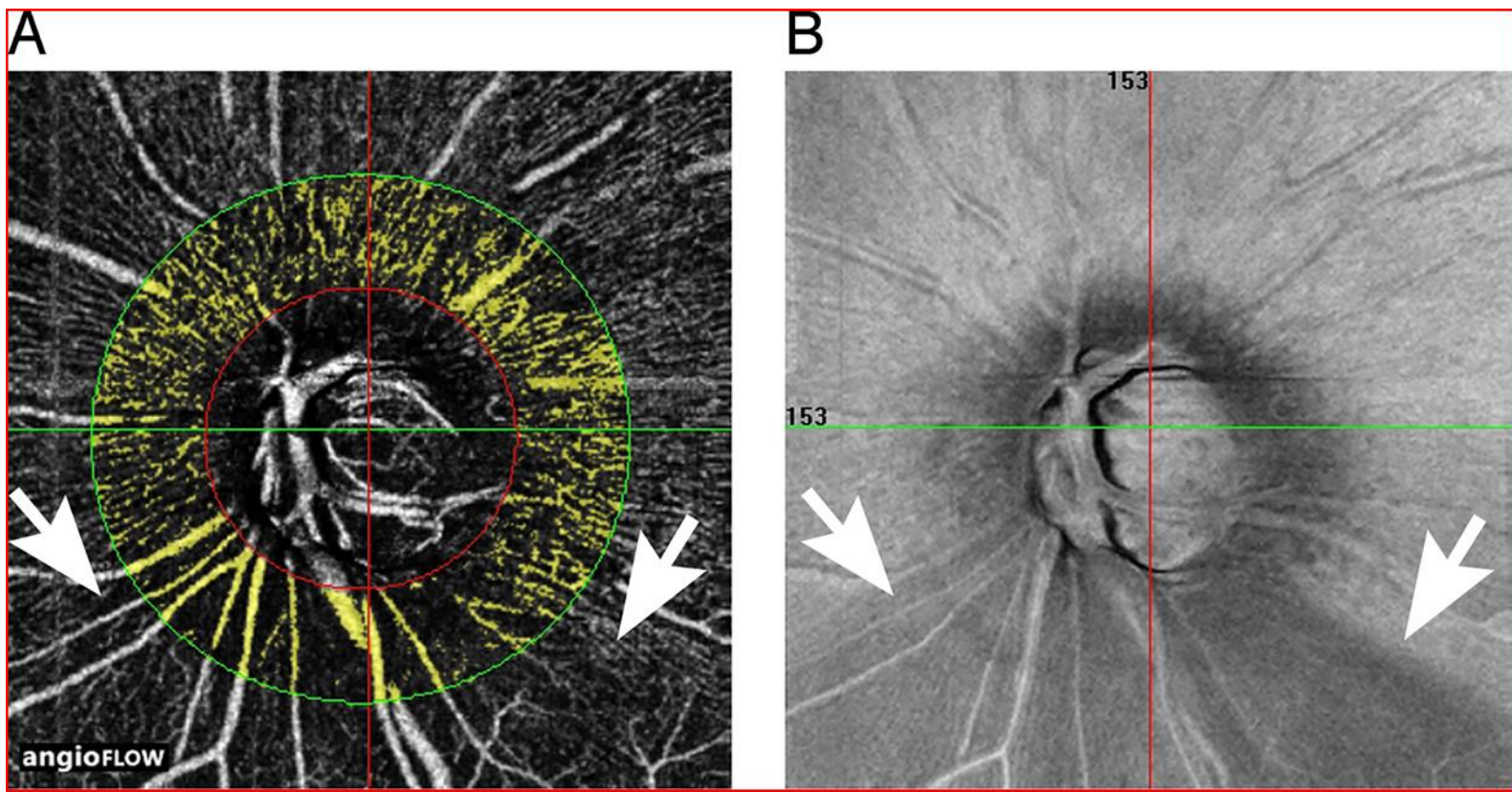
Lamina Cribrosa

Michel Puech
Explore Vision di Parigi

Relationship between **visual field loss** and **RGC numbers**. A normal visual field in a healthy individual has approximately **1 million RGCs**. At a **mean deviation of -2 dB**, which equates to an **early field defect**, **RGC number** has decreased by around **350,000 cells**. At **-10 dB**, a field defect that can result in **functional impairment** and **quality of life decline**, **RGC number** has **decreased** by a further **250,000 cells** from the RGC number at -2 dB

Optical coherence angiography of the **optic nerve head** of a **glaucomatous disc (left)** and a **healthy disc (right)**. In addition to the general reduction in the visibility of the disc and peripapillary microvasculature in the glaucomatous disc, **focal areas of vascular attenuation** are visible (**arrows**). **OCTA images can help our understanding of the pathogenesis of ONH diseases.**

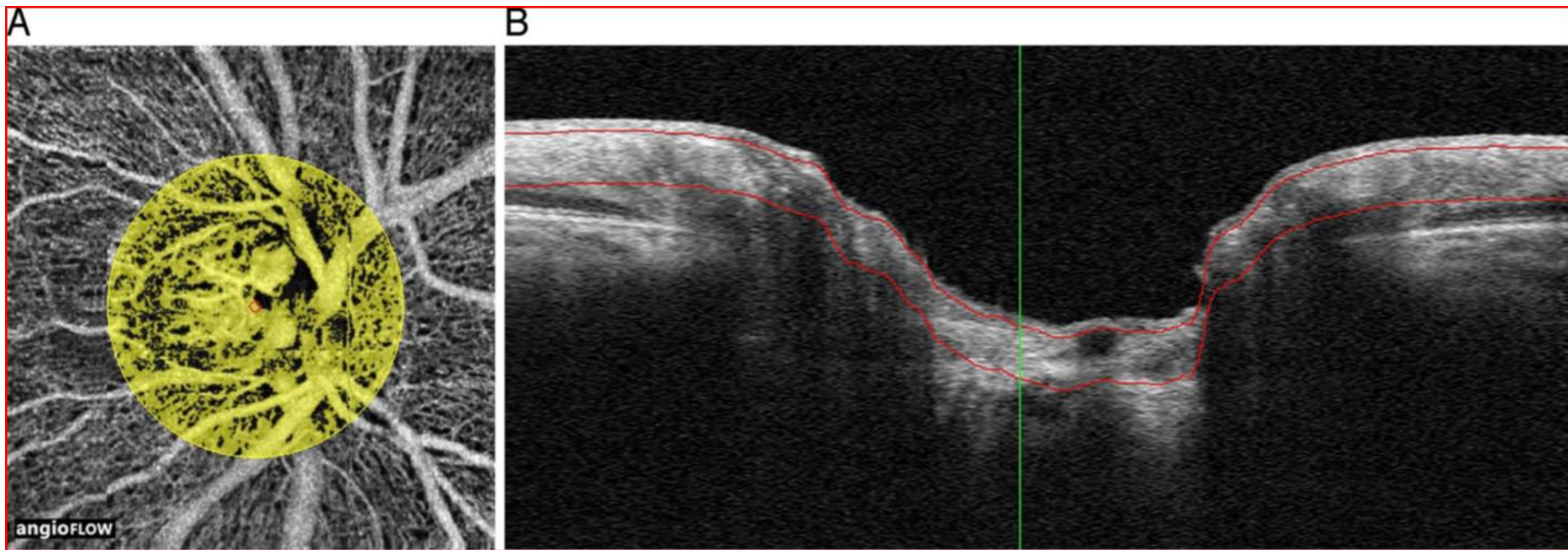




Limit Depth $0 \leq 80 \mu\text{m}$; limit area $700 \mu\text{m}$

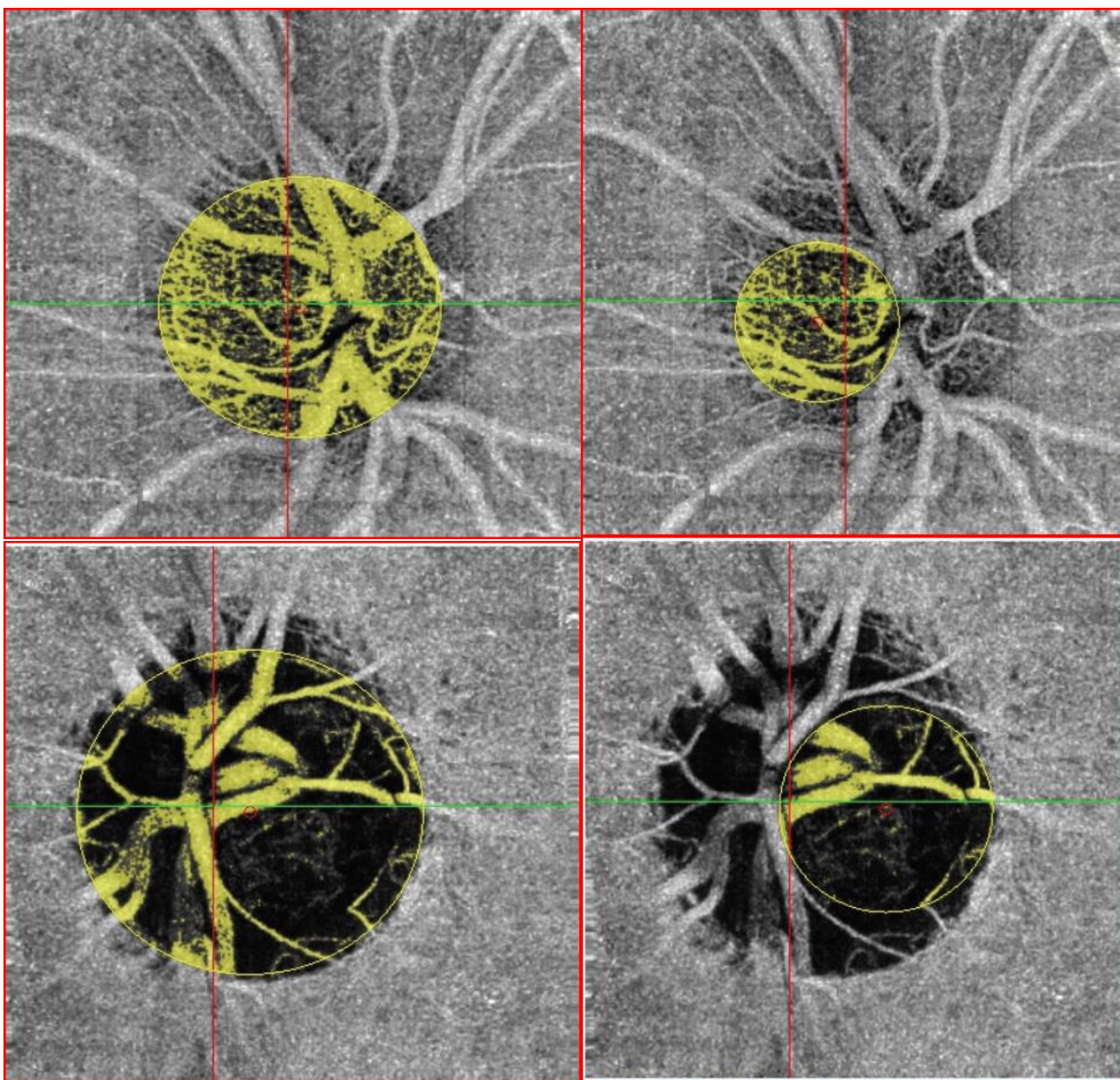
(A) The highlighted RPC (Radial Peripapillary Capillary) of the superficial retina
(B) En face image of the retinal nerve fiber layer defects (between arrows) in an eye with **POAG**.

In this image, there is a **defective RPC** between the arrows and a **corresponding** retinal nerve fiber layer defect between the arrows. In this case, the tissue depth is between **0 and $80 \mu\text{m}$** , and the highlighted area is **$700 \mu\text{m}$ from the disc margin** (size, $4.5\text{mm} \times 4.5 \text{mm}$)



Limit: $50 \leq 250\mu\text{m}$

- A) An example of highlighted prelaminar vessels in a **normal eye**. The vascular flow index of the prelaminar area is calculated by measuring the **mean decorrelation** in the column between **50 and 250 μm deep within Elschnig's scleral ring**
- B) In the sagittal section image of the same optic **nerve head**, a large part of the *prelaminar region is included between the two red lines* **50 and 250 μm from the disc surface (size, 3x3mm)**



50 glaucoma patients and 30 normal subjects

In the glaucoma group

- **total ONH vessel density** were reduced by

24.7% (0.412 versus 0.547; $p < 0.0001$)

- **temporal ONH vessel density** were reduced by

22.88% (0.364 versus 0.472; $p = 0.001$).

Significant correlations were found between **temporal and total ONH vessel density** and

- **RNFL**

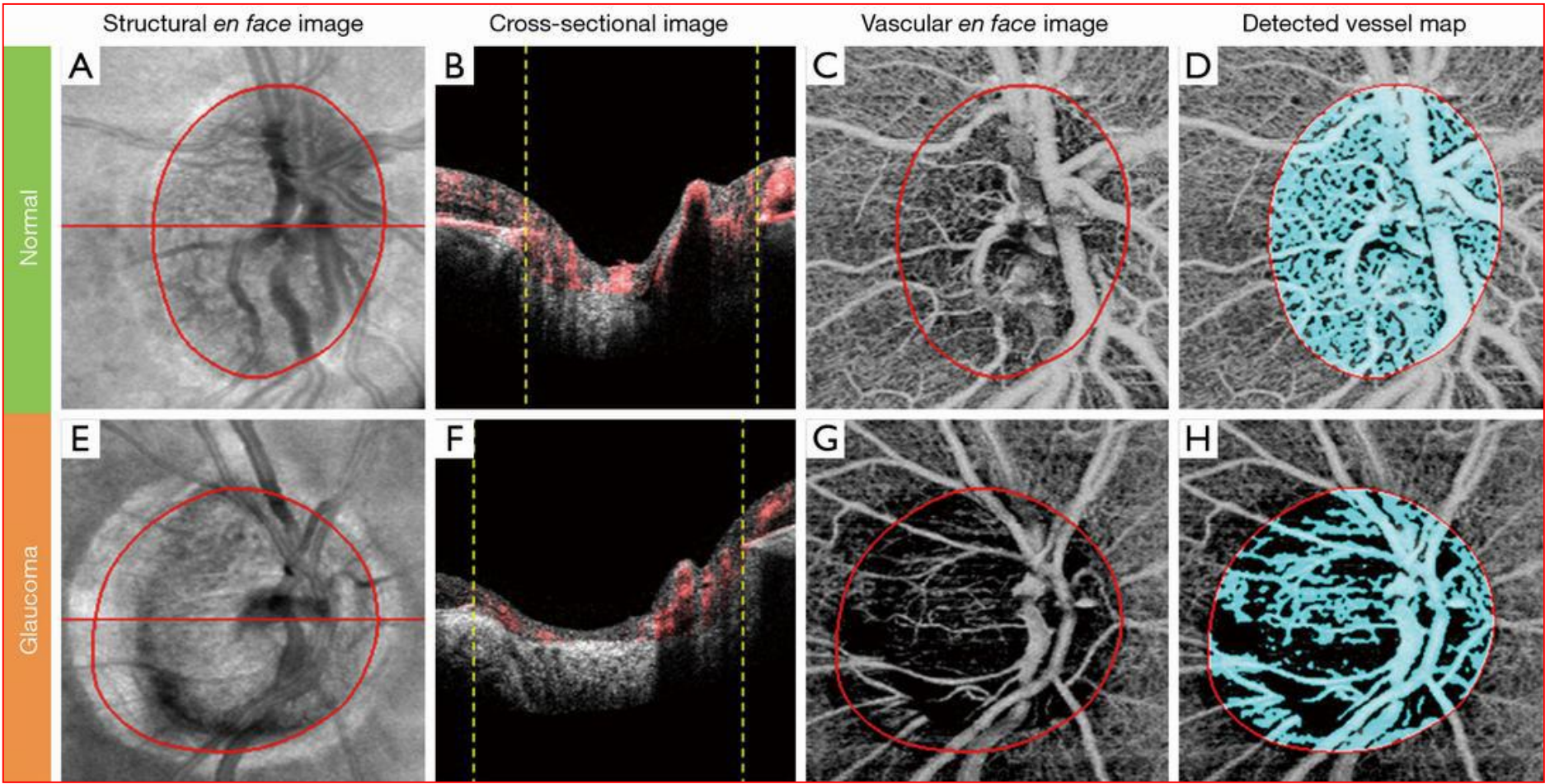
- **GCC**

- **VF MD mean deviation** -

- **Visual field index.**

Total **(a)** and temporal **(b)** ONH acquisition in a **normal** patient.
Total **(c)** and temporal **(d)** ONH acquisition in a **glaucoma** patient

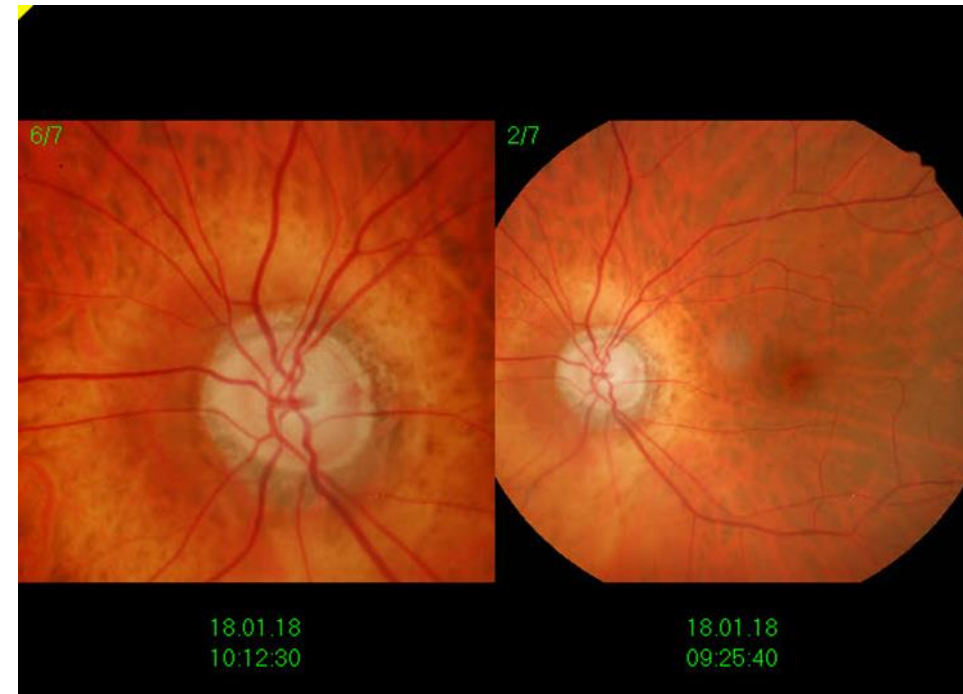
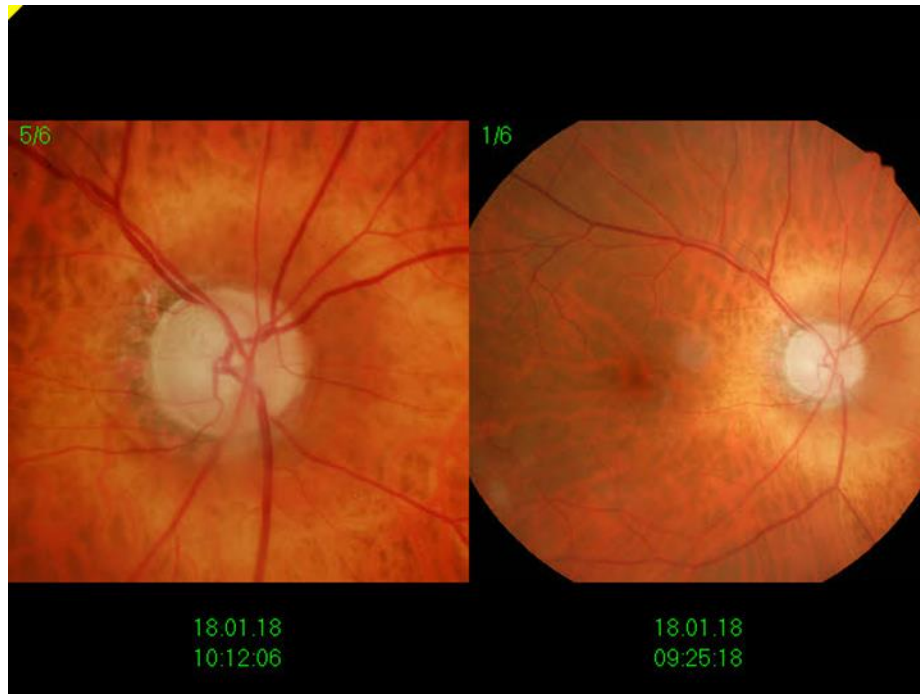
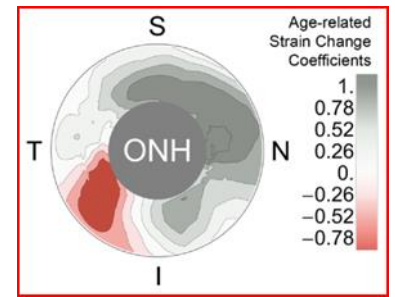
by: **Pierre-Maxime Lévêque et al.** Journal of Ophthalmology 2016



An example result of the vascular en face image of pre-laminar tissue (preLC) of a normal (A-D) and a glaucomatous eyes (E-H). (A,E) Show the structural en face images; (B,F) display the cross-sectional structural images sampled at the horizontal red lines in (A) and (E) superimposed with blood flow signals from preLC, and vertical yellow dashed lines indicate the optic disc margin by detecting the end of Brush's membrane; (C,G) are the vascular en face images from preLC; (D,H) present the detected blood vessel maps from preLC. by Chieh-Li Chen

Stress /Strain and IOP and finite elements

SL[♂]78 aa Glaucoma peripapillare



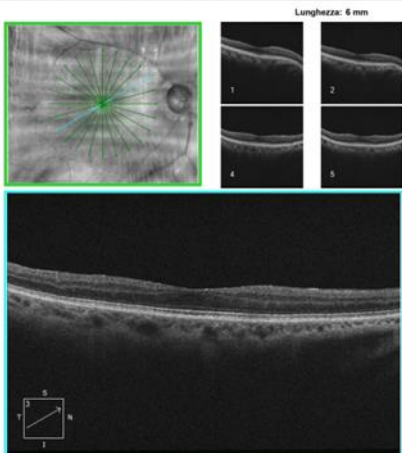
Uno studio biomeccanico del danno strutturale e sulla deformabilità sclerale (Strain) è condotto da anni da Claude Burgoyne (Portland Oregon, USA). Da oltre un decennio Burgoyne studia gli effetti della IOP sulla sclera e, in particolar modo, sulla regione peripapillare

Bruno L., Fazio M. A., Poggialini A., Lucente A. Identificazione dei Meccanismi di Danneggiamento dei Tessuti dell'Occhio Mediante Analisi Numeriche e Sperimentali. Atti del convegno "9° Congresso Internaz. SOI 2011.

Massimo A. Fazio, Rafael Grytz, L. Bruno, Michael J. A. Girard, Stuart Gardiner, Christopher A. Girkin, J. Crawford Downs. Regional Variations in Mechanical Strain in the Posterior Human Sclera. Investigative Ophthalmology & Visual Science, August 2012, Vol. 53, No. 9.

Nome: [Redacted]
 ID: 1940 1120 AD74 8140 9 Data esame: 18/01/2018 Studio Oculistico A. Lucente ZEISS
 Data di nascita: 20/11/1940 Ora dell'esame: 09:43
 Sesso: Unknown Numero di serie: 5000-6254
 Tecnico: Angio, Cirrus Intensità segnale: 7/10

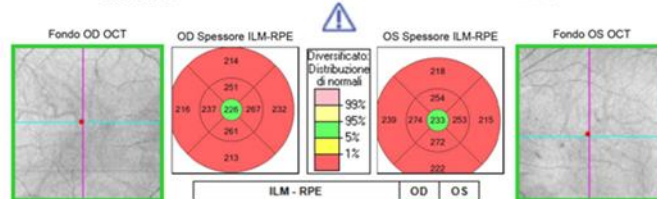
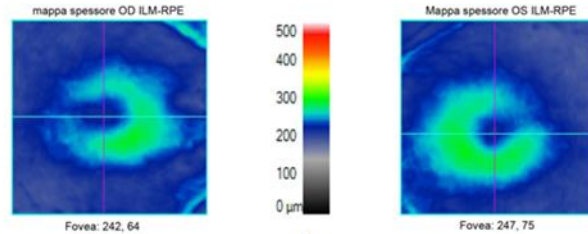
Immagini ad alta definizione: HD Radial OD OS



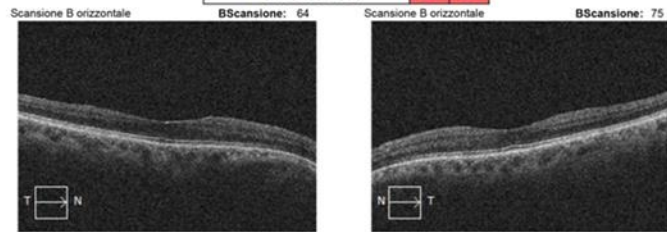
Comments: _____ Firma del medico: _____
 CIRRUS ANGIO SW Ver: 10.0.0.14618 Copyright 2016 Carl Zeiss Meditec, Inc All Rights Reserved Pagina 1 di 1

Nome: [Redacted] OD OS ZEISS
 ID: [Redacted] B Data esame: 18/01/2018 18/01/2018 Studio Oculistico A. Lucente
 Data di nascita: 20/11/1940 Ora dell'esame: 09:43 09:47
 Sesso: Unknown Numero di serie: 5000-6254 5000-6254
 Tecnico: Angio, Cirrus Intensità segnale: 6/10 7/10

Spessore maculare OU: Macular Cube 512x128 OD OS



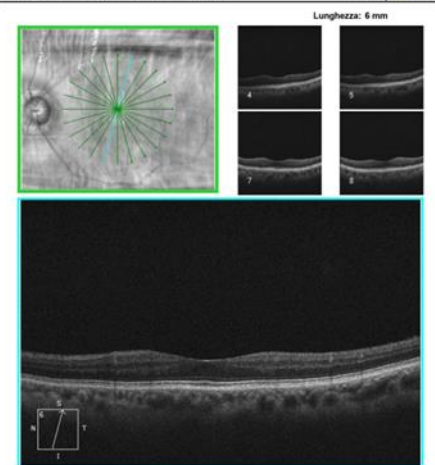
ILM - RPE		OD	OS
Spessore Campo secondario cent (µm)		226	233
Volume (mm³)		8,1	8,2
Medio Spessore (µm)		224	227



Comments: _____ Firma del medico: _____
 CIRRUS ANGIO SW Ver: 10.0.0.14618 Copyright 2016 Carl Zeiss Meditec, Inc All Rights Reserved Pagina 1 di 1

Nome: [Redacted] Data esame: 18/01/2018 Studio Oculistico A. Lucente ZEISS
 Data di nascita: 20/11/1940 Ora dell'esame: 09:48
 Sesso: Unknown Numero di serie: 5000-6254
 Tecnico: Angio, Cirrus Intensità segnale: 6/10

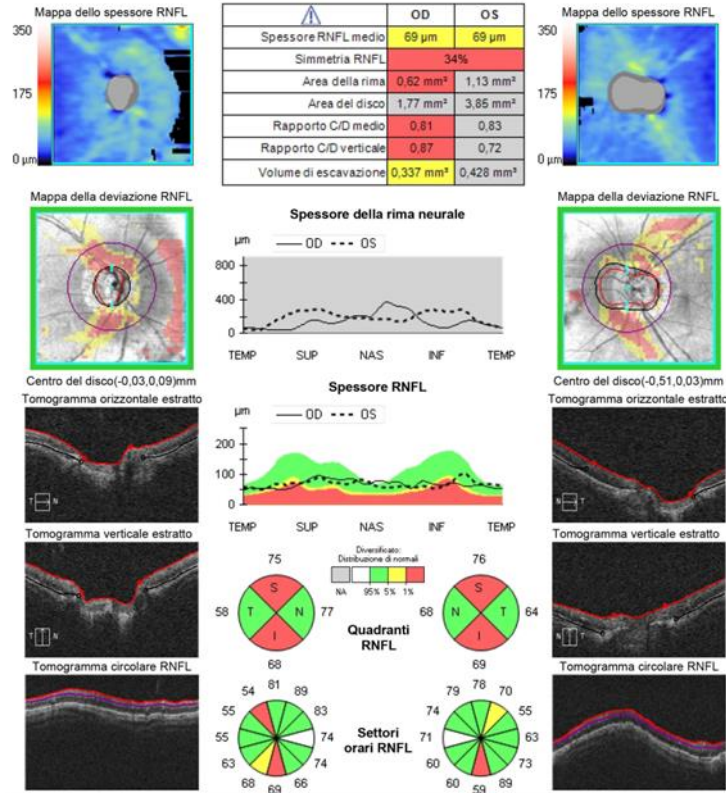
Immagini ad alta definizione: HD Radial OD OS



Comments: _____ Firma del medico: _____
 CIRRUS ANGIO SW Ver: 10.0.0.14618 Copyright 2016 Carl Zeiss Meditec, Inc All Rights Reserved Pagina 1 di 1

Nome: [REDACTED] OD OS
 ID: 1940.1120.AD74.8146.B Data esame: 18/01/2018 18/01/2018 Studio Oculistico A. Lucente ZEISS
 Data di nascita: 20/11/1940 Ora dell'esame: 09:44 09:51
 Sesso: Unknown Numero di serie: 5000-6254 5000-6254
 Tecnico: Angio, Cirrus Intensità segnale: 7/10 5/10

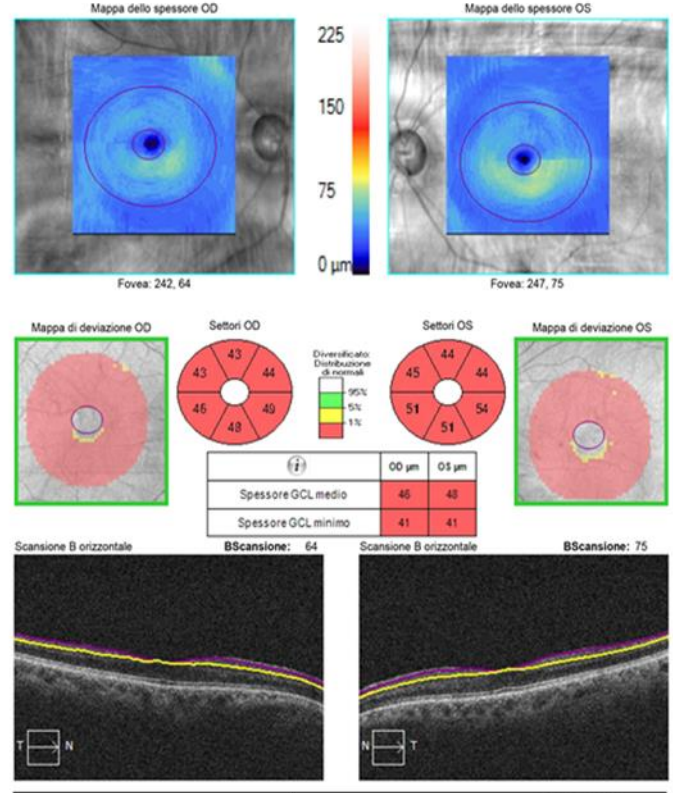
Analisi RNFL e ONH OU: Optic Disc Cube 200x200 OD OS



Commenti: _____ Firma del medico: _____
 CIRRUS ANGIO SW Ver: 10.0.0.14618 Copyright 2016 Carl Zeiss Medtec, Inc All Rights Reserved Pagina 1 di 1

Nome: [REDACTED] OD OS
 ID: 1940.1120.AD74.8146.B Data esame: 18/01/2018 18/01/2018 Studio Oculistico A. Lucente ZEISS
 Data di nascita: 20/11/1940 Ora dell'esame: 09:43 09:47
 Sesso: Unknown Numero di serie: 5000-6254 5000-6254
 Tecnico: Angio, Cirrus Intensità segnale: 6/10 7/10

Analisi cellula gangliare: Macular Cube 512x128 OD OS

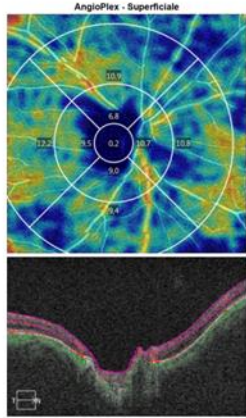
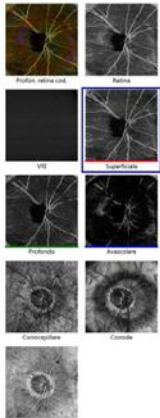


Commenti: _____ Firma del medico: _____
 CIRRUS ANGIO SW Ver: 10.0.0.14618 Copyright 2016 Carl Zeiss Medtec, Inc All Rights Reserved Pagina 1 di 1

Nome: ██████████ OD
 ID: ██████████ Data esame: 18/01/2018
 Data di nascita: 20/11/1940 Ora dell'esame: 09:46
 Sesso: Unknown Numero di serie: 5000-6254
 Tecnico: Angio, Cirrus Intensity segnata: 7/10



Analisi dell'angiografia : Angiography 6x6 mm OD ● ○ OS

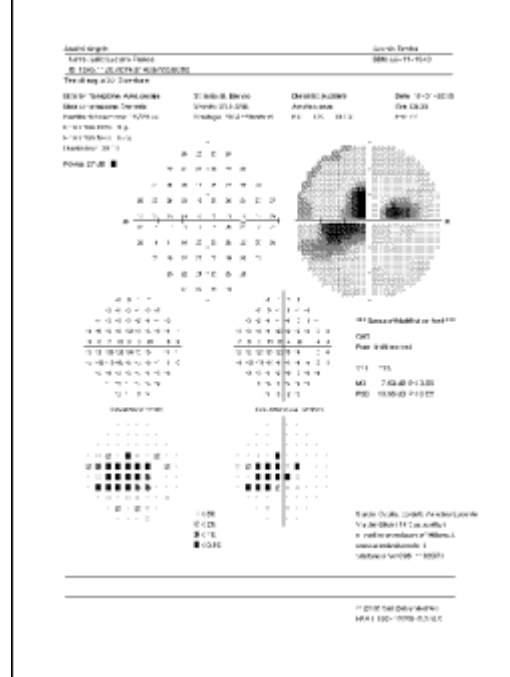


Sovrapposizioni
 Struttura - Nessuno
 AngioPlex - Vaso Mappa

AngioPlex Matrix
 FAZ

Regione	Densità	Area	0,07 mm ²
● Centrale	0,2 mm ⁻¹	Perimetro	1,18 mm
● Interna	9,0 mm ⁻¹	Circularità	0,66
● Esterna	10,8 mm ⁻¹		
● Completo	10,1 mm ⁻¹		

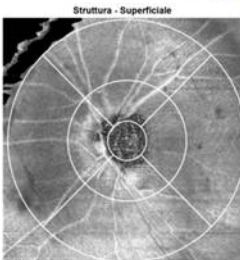
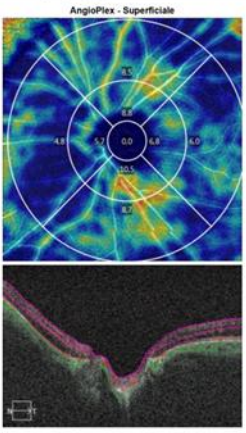
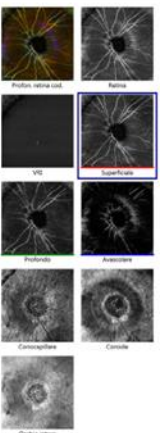
Commenti: _____ Firma del medico: _____
 Analisi modificata: 18/01/2018 09:55
 CIRRUS ANGIO SW Ver: 10.0.0.14618 Copyright 2016 Carl Zeiss Medtec, Inc All Rights Reserved Pagina 1 di 1



Nome: ██████████ OS
 ID: ██████████ Data esame: 18/01/2018
 Data di nascita: 20/11/1940 Ora dell'esame: 09:53
 Sesso: Unknown Numero di serie: 5000-6254
 Tecnico: Angio, Cirrus Intensity segnata: 5/10



Analisi dell'angiografia : Angiography 6x6 mm OD ○ ● OS

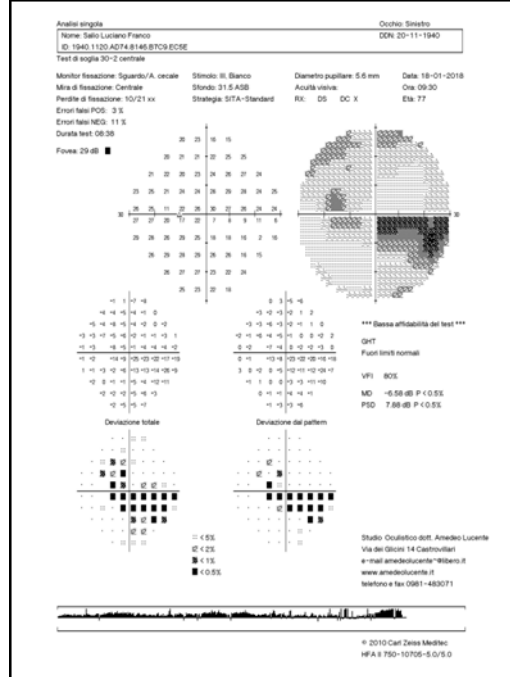


Sovrapposizioni
 Struttura - Nessuno
 AngioPlex - Vaso Mappa

AngioPlex Matrix
 FAZ

Regione	Densità	Area	--
● Centrale	0,0 mm ⁻¹	Perimetro	--
● Interna	8,0 mm ⁻¹	Circularità	--
● Esterna	7,0 mm ⁻¹		
● Completo	7,0 mm ⁻¹		

Commenti: _____ Firma del medico: _____
 Analisi modificata: 18/01/2018 09:56
 CIRRUS ANGIO SW Ver: 10.0.0.14618 Copyright 2016 Carl Zeiss Medtec, Inc All Rights Reserved Pagina 1 di 1



REVIEW

Optical coherence tomography angiography in glaucoma: a mini-review

Kelvin H. Wan , Christopher K. Leung

Department of Ophthalmology, Tuen Mun Eye Center and Tuen Mun Hospital, Hong Kong, China

Department of Ophthalmology and Visual Sciences, The Chinese University of Hong Kong, Hong Kong, China

OCT-A abnormality in glaucoma: primary damage or secondary change?

Summary

Vascular abnormalities detected by OCT-A have been consistently observed in glaucoma. However, **it remains unclear whether OCT-A provides additional diagnostic information for the detection of glaucoma compared with conventional OCT measurements such as circumpapillary RNFL thickness, neuroretinal rim width, and ganglion cell inner plexiform layer thickness.**

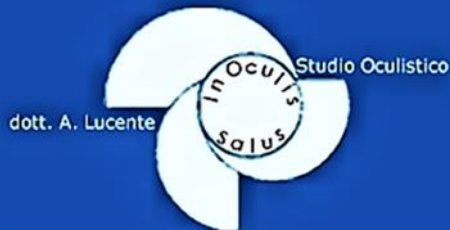
F1000 Research 2017, 6(F1000 Faculty Rev):1686 Last updated: 02 OCT 2017



S.I.E.T.O.
Società Italiana di Ergoftalmologia e
Traumatologia Oculare

30°
CONGRESSO
NAZIONALE

Thank you for your kind attention!



www.amedeolucente.it